

フジタ工業・技術研究所 藤原東雄
 ≡ ≡ ≡ 石橋後郎
 ≡ ≡ ≡ ○酒見徳行

I.はじめに

筆者らは、数年来、粗粒材の工学的性質を研究するため岩石質材料を用いて大型三軸圧縮試験（供試体径1.2m²、高さ2.4m）を行なっていながら、併せてゴムスリーブのせん断における影響についても種々の試験を行なってきた。せん断中、供試体の変形が均一でないことが周知のことであり、筆者らはゴムスリーブに局所軸ヒズミ計（4ヶ所）を取り付け、従来から測定している横ヒズミ計（3ヶ所）とともに、せん断中の供試体の変形を測定して来た。今回は砂で作製した供試体内部の変形と供試体周囲の変形の対応を検討するために、供試体を8層とし、各層間に消石灰を設え、かつ、サイロコロを25ヶ所並べて、試験後にその移動を調べた結果について報告する。

2. 試験方法

使用材料は、既報⁽¹⁾のものと同一 ($G_s = 2.75$, $d_{10} = 180\mu$, $U = 2.10$) である。供試体作製方法もほぼ同じであるが、供試体作製方法2-裏では奥は、締固めを8層とし、各層ごとに締固め後、消石灰を厚さ約1cm（軸圧後は3~5mm）敷き、供試体上部2層下除く6層に、供試体内の変位を知るために各辺約1cmのモルタル製の立方体マーク（サイロコロ）を回りのX印にすよく設置した。せん断試験後、注意深く供試体を解体してサイロコロと消石灰の位置の移動を測定してせん断による変位として。なお、供試体の乾燥密度は1.53t/m³、含水比は4%、試験条件は、不飽和の圧密排気(CD)条件として。側圧は4kN/cm²とし、最終の軸ヒズミ10.1%、布および16.9%の計2回の試験を行ない、それと合わせてせん断後供試体を解体してせん断による変位量を測定した。

3. 試験結果

供試体の内部にサイロコロおよび石灰を入れて供試体のせん断試験結果と、何も入しない供試体の試験結果は図-1に示したが、ほぼ同じ傾向を示している。このことから供試体の内部に設置してサイロコロや石灰のせん断への影響は無視できるものと考えられる。一方、軸ヒズミ量は、石灰の相対的充満度にもとづく計算値、シリニター貢入量、および局所軸ヒズミ計で測定した値ともに、おおむね一致している。図-2は、試験前後の供試体各部の面積比の変化を示している。図-2中の微軸は供試体下部から數えて層名である。試験結果によると図-2に見られるように平均軸ヒズミ10.1%の場合、供試体各部とも面積比が減少する傾向にあり、平均軸ヒズミが16.9%になると、供試体上下端層（#1~2層、および#5~8層）では面積比の減少が見られるが、供試体中间層（#3~5層）では面積比が平均軸

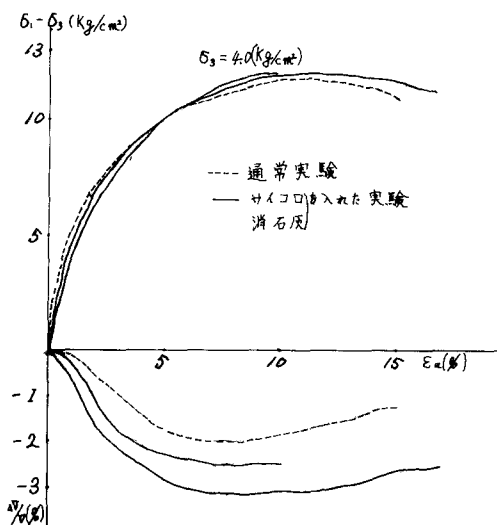


図-1 応力ヘビズミへ容積変化曲線

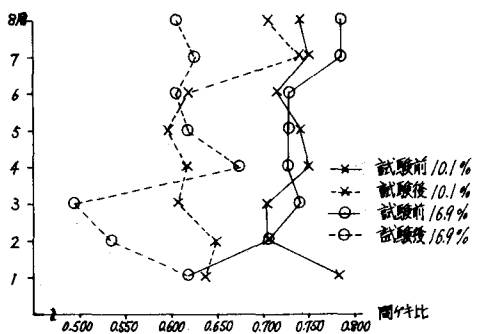


図-2 間ヶキ比の分布

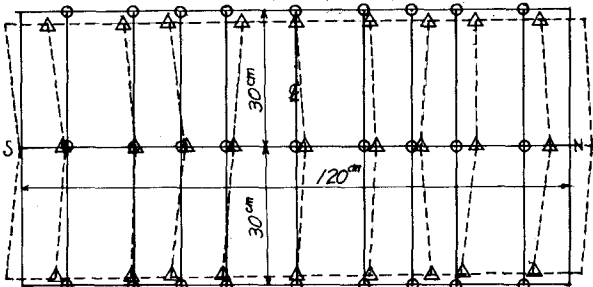


図-3. セン断による変位の分布(才3層～才4層, N~N)

ヒズミ 10.1% における変位は、やや増加している。こうした事実は、従来一般に考えらるゝセン断領域の存在箇所と試験でとらえたセン断箇所とか一致することを示すが、サイクロルおよび石灰層の変化とともに、図-3、図-4 および図-5 のように変位関係を固化して供試体内部のセン断による変位を調べた。この結果、サイクロルの絶対的移動量は、供試体中心部ほど大きい傾向にある。この事は、内部応力が均等に作用しているものとすれば、供試体中心部ほど砂粒子の移動がしやすいと考えられる。一方、変位が作用する応力に比例するものと考えると、内部応力が均等に作用していないとも考えられる。今後は、これらのこと考慮しながら、各ゾーンのセン断ヒズミ、セン断力を検討してみたいと考えている。

4. あとがき

供試体が非常に大きいという点を利用して、供試体内にサイクロル、石灰を設置して供試体各部のセン断による変位の分布を測定した。今後さらに実験を重ね、セン断力、セン断ヒズミといったことも各ゾーンで計算し、セン断領域の発生状況や、その大きさ、方向等をとらえ、大型三軸圧縮試験のセン断メカニズムについて検討していく予定である。

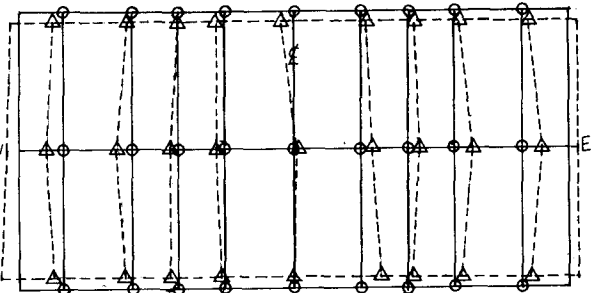


図-4. セン断による変位の分布(才3層～才4層, E~W)
 —○ 試験前 軸ヒズミ 10.1%
 - - -△ 試験後

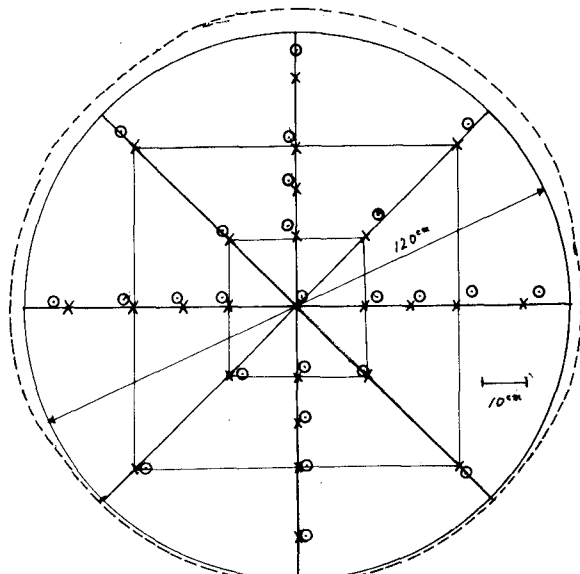


図-5. セン断による変化の分布(才3層と才4層の中間)

- 参考文献 1)砂のセン断特性について(大型三軸圧縮試験の場合) 石井 他 第9回国土質研究発表会講演集
 2)土質力学 最上武雄編 技報堂 P821～P822.